

สัมประสิทธิ์การพากความร้อนแบบธรรมชาติของการทำแห้งส้มแขก

อีลีห์ยีะ สนิโซ^{1*} และ มะรูดิง กากชา¹

มหาวิทยาลัยราชภัฏยะลา 133 ถนนเทศบาล 3 ตำบลสะเตง อำเภอเมือง จังหวัดยะลา 95000

บทคัดย่อ

การวิจัยนี้เป็นการศึกษาทดลองเพื่อหาค่าสัมประสิทธิ์การพากความร้อนที่เกิดขึ้นในการทำแห้งชิ้นส้มแขกแบบธรรมชาติตัวอย่างแสงอาทิตย์ ที่ความชื้นเริ่มต้นร้อยละ 85 w.b. ความหนา 8.89 และ 16.70 มม. และเส้นผ่านศูนย์กลาง 73.10 มม. โดยใช้ความล้มเหลวของสมการ $Nu = h_c X/K = N(Ra)^n$ เมื่อค่าคงที่ N และ n หาได้จากการวิเคราะห์สมการการทดลองเชิงเส้น จากการทดลองพบว่า ชิ้นส้มแขกที่มีความหนา 8.89 มม. มีค่าสัมประสิทธิ์การพากความร้อนแบบธรรมชาติเฉลี่ยเท่ากับ $29.99 \text{ W/m}^2\text{-}^\circ\text{C}$ เมื่อค่า N และ n เท่ากับ 1.818 และ 0.245 ตามลำดับ และเท่ากับ $29.43 \text{ W/m}^2\text{-}^\circ\text{C}$ สำหรับชิ้นส้มแขกที่มีความหนา 16.70 มม. เมื่อค่า N และ n เท่ากับ 1.455 และ 0.266 ตามลำดับ โดยที่ค่า $Pr = 0.705$ และ $2.692 \times 10^4 < Gr < 2.980 \times 10^4$

คำสำคัญ : ส้มแขก / สัมประสิทธิ์การพากความร้อนแบบธรรมชาติ / พลังงานแสงอาทิตย์

¹ อาจารย์ สาขาวิชาพิสิกส์ คณะวิทยาศาสตร์เทคโนโลยีและการเกษตร

* ผู้รับผิดชอบบทความ E-mail : Saniso.e@hotmail.com

Natural Convective Heat Transfer Coefficients of *Garcinia atroviridis* Drying

Eleeyah Saniso^{1,*} and Maruding Kasa¹

Yala Rajabhat University, 133 Tesaban Road 3, Amphur Muang, Yala 95000

Abstract

In this research work, an attempt has been made to evaluate the convective heat transfer coefficient during drying of *Garcinia atroviridis* in open sun drying conditions. The initial sample had moisture content of 85% w.b., slice thickness of 8.89 and 16.70 mm and diameter of 43.10 mm. The convective heat transfer coefficient was determined by $Nu = h_c X/K = N(Ra)^n$ equation. Values of the constant, N and n were obtained by linear regression analysis. The results showed that the natural convective heat transfer coefficients was 29.99 W/m²-°C, when N and n were found to be 1.818 and 0.245, respectively for *Garcinia atroviridis* slice of 8.89 mm thick and 29.43 W/m²-°C, when N and n were found to be 1.455 and 0.266, respectively for *Garcinia atroviridis* slice of 16.70 mm thick, at $Pr = 0.705$ and $2.292 \times 10^4 < Gr < 2.980 \times 10^4$

Keywords : *Garcinia atroviridis* / Convective Heat Transfer Coefficient / Solar Energy

¹ Lecturer, Major of Physics, Faculty of Science Technology and Agriculture.

* Corresponding author, E-mail : Saniso.e@hotmail.com

1. บทนำ

ส้มแขกเป็นไม้ยืนต้นในสกุลการซีเนีย (Garcinia) พ布 ในเขตต้อนแคมເອເຊີຍ ເມຣິກາ ແລະ ອັພິກາ ໂດຍພນມາກໃນ 2 ແຫ່ງ ຕື່ອ ທາງການໄດ້ຂອງປະເທດໄທໂດຍເນັພະຈັງຫວັດຍະລາ ປັຕານີ ແລະ ນາຮັກວິວາສ ທີ່ມີເຊື່ອທາງ ວິທາຍາຄາສຕ່ຽວ່າ *Garcinia atroviridis* Griff. ແລະ ໃນປະເທດອິນເດີຍທີ່ມີເຊື່ອທາງວິທາຍາຄາສຕ່ຽວ່າ *Garcinia cambogia* Desr. [1] ໃນການໄດ້ຂອງປະເທດໄທໄດ້ມີການຕັ້ງ ກລຸມແມ່ບ້ານເກົຫຼາເພື່ອແປຮູບສົມແກກໃນຮູບແບບຕ່າງໆ ເຊັ່ນ ກລຸມແມ່ບ້ານເກົຫຼາ ດ.ຍະຕີ ອ.ຮາມັນ ກລຸມແມ່ບ້ານເກົຫຼາ ດ.ທ່າສານ ແລະ ດ.ລຳພະຍາ ອ.ເມືອງ ແລະ ກລຸມແມ່ບ້ານເກົຫຼາ ດ.ຕາຊີ ອ.ຍະຫາ ຈ.ຍະລາ ກລຸມແມ່ບ້ານເກົຫຼາ ດ.ພຣວ່ອນ ອ.ຕາກໃບ ແລະ ກລຸມແມ່ບ້ານຮ່ວນພັດນາ ດ.ຕັນຫຍັງມັສ ອ.ຮະແບະ ຈ.ນາຮັກວິວາສ ເປັນຕົ້ນ ສົມແກກທີ່ແປຮູບອອກມາສ່ວນໃໝ່ຈະ ອູ້ໃນຮູບອອກສົມແກກແທ້ໂດຍການຕາກແດດທີ່ຮ້ອນຈົດປະມານ 3 ວັນ ເມື່ອສົມແກກແທ້ສົນທີແລ້ວນໍາໄປບຣຈຸແລະເກີນໄວ້ໃນ ການນະທີ່ສາມາດປັບກັນຄວາມໜີ້ເພື່ອການຈໍາໜ່າຍຫຼືອ ແປຮູບເປັນພລິດກັນທີ່ອື່ນໆ ເຊັ່ນ ສົມແກກບົດຜົງສໍາເຮົງຈຸບັນ ທ່າງສົມແກກ ແລະ ພລິດກັນທີ່ສົມແກກນິດແປປັບປຸງ ເປັນຕົ້ນ

ການທຳແໜ່ງ (Drying) ຕື່ອ ກະບວນການລົດຄວາມໜີ້ ຂອງວັດຖຸທີ່ສ່ວນໃໝ່ໃໝ່ການຄ່າຍໂອນຄວາມຮ້ອນໄປຢັງວັດຖຸທີ່ ຊື້ນເພື່ອໄລຄວາມໜີ້ອອກໂດຍກາຮະເຫຍ່ງສູງກຳທັນດໂດຍ ການຄ່າຍໂອນຄວາມຮ້ອນ ໄດ້ແກ່ ກາປາ (Convection) ການນໍາ (Conduction) ແລະ ການແຜ່ງສື່ (Radiation) ເປັນພລິດໃຫ້ມີ ການຄ່າຍໂອນຄວາມຮ້ອນ ແລະ ມາລັນ້າຂອງວັດຖຸກັບອາກາສ ແວດລ້ອມ ການຄ່າຍໂອນຄວາມຮ້ອນ (Heat transfer) ຈາງ ເກີດຈາກກາປາ ການນໍາ ແລະ ການແຜ່ງສື່ຄວາມຮ້ອນ ຫຼືອ ພສມກັນທັງສາມແບນກີໄດ້ ຂຶ້ນກັບການອອກແບນແລະ ຜົນດີຂອງ ການທຳແໜ່ງໂດຍຄວາມຮ້ອນຈະຄ່າຍໂອນສູ່ຜິວຂອງວັດຖຸເພື່ອ ຮະຫຍັນທີ່ຜິວອອກໄປແລະ ຈະຄ່າຍໂອນຕ່ອໄປຢັງກາຍໃນວັດຖຸ ເພື່ອເພີ່ມຄວາມດັນໄອນ້າກາຍໃນວັດຖຸຕ່ອໄປ ສ່ວນການຄ່າຍໂອນ ມາລັນ້າ (Mass transfer) ຈະຂຶ້ນອູ້ກັນກລິກ 2 ລັກນະ ຕື່ອ ກາຮເຄລື່ອນຍ້າຍຂອງມາລັນ້າກາຍໃນວັດຖຸເນື່ອຈາກປັດຈຸກາຍໃນ ໄດ້ແກ່ ລັກນະທາງກາຍກາພແລະ ຄວາມໜີ້ກາຍໃນວັດຖຸ ແລະ ກາຮເຄລື່ອນຍ້າຍຂອງໄອນ້າຈາກຜິວຂອງວັດຖຸເນື່ອຈາກປັດຈຸກາຍນອກ ໄດ້ແກ່ ອຸນຫຼຸມ ຄວາມໜີ້ຂອງອາກາສ ອັດຮາກາຮ ໄລຂອງອາກາສ ແລະ ພື້ນທີ່ຜິວຂອງວັດຖຸ [2-3] ກາວິເຄຣະທີ່

ກະບວນການອົບແທ້ວັດຖຸມີຄ່າໜີ້ວັດທີ່ສໍາຄັນຫລາຍປະກາງ ທີ່ຈະແຕກຕ່າງກັນແລະ ເປັນຄຸນສົມບັດເພາະຂອງວັດຖຸແຕ່ລະ ຜົນດີ [4] ແລະ ການທຳແໜ່ງເປັນແບບທາກແດດໂດຍຕຽງ ດ່າ ສົມປະລິທີ່ກາປາຄວາມຮ້ອນແບບຮຽມຈາດ (Convective heat transfer coefficient) ເປັນຕົວໜີ້ທີ່ສໍາຄັນໃນ ການທຳແໜ່ງ ດັ່ງນີ້ໃນການວິຈີ້ຂອງ Anwar ແລະ Tiwari [5] ທີ່ໄດ້ທົດລອງທຳແໜ່ງພລິທີການເກະທຣ 6 ຜົນດີ ໄດ້ແກ່ ພຣິກຫຼັ້ງໜີ້ເຊີຍ ຄ້າວິເຊີວ ຄ້າວິກາວ ທອມຫວ່າໃຫຍ່ ມັນຜົງ ແລະ ດອກກະຫຼຳ ດ້ວຍການຕາກແໜ່ງກລາງແຈ້ງເພື່ອຫາຄ່າ ສົມປະລິທີ່ກາປາຄວາມຮ້ອນ ພບວ່າ ດ່າສົມປະລິທີ່ກາປາຄວາມຮ້ອນທີ່ໄດ້ອູ້ໃນໜັງ 3.5-26 $\text{W/m}^2\text{-}^\circ\text{C}$ ໃນຂະນະທີ່ Goyal ແລະ Tiwari [6] ໄດ້ທົດລອງຄືກ່າວການຄ່າຍໂອນຄວາມຮ້ອນ ແລະ ດ້ວຍການຄ່າຍໂອນມາລີໃນການທຳແໜ່ງຂ້າວສາລີ ແລະ ຄ້າວິເຊີວ ດ່າສົມປະລິທີ່ກາປາຄວາມຮ້ອນຂອງຂ້າວສາລີ ແລະ ຄ້າວິເຊີວມີຄ່າເທົ່າກັນ 16.68 ແລະ 9.62 $\text{W/m}^2\text{-}^\circ\text{C}$ ຕາມລຳດັບ ສ່ວນ Marina et al. [7] ໄດ້ທົດລອງທຳແໜ່ງຂຶ້ນໂດຍການຕາກ ແ້ວທີ່ອາຍີພລັງງານແສງອາທິດຍີເພື່ອຫາຄ່າສົມປະລິທີ່ກາປາຄວາມຮ້ອນ ພບວ່າ ດ່າສົມປະລິທີ່ກາປາຄວາມຮ້ອນ ຂອງຂຶ້ນມີຄ່າເທົ່າກັນ 26.25 $\text{W/m}^2\text{-}^\circ\text{C}$ ໃນທຳນອງເດືອກກັນ ມາຣີນາ ແລະ ຈອມກຟ [8] ທີ່ໄດ້ທົດລອງຫາຄ່າສົມປະລິທີ່ກາປາຄວາມຮ້ອນໃນຮ່າງວ່າການທຳແໜ່ງແກນລັບປະດິແຈ້ງ ອື່ນກາຍໃຫ້ການຕາກແໜ່ງທີ່ໃຊ້ແສງອາທິດຍີເປັນແລ້ວພລັງງານ ພບວ່າ ດ່າສົມປະລິທີ່ກາປາຄວາມຮ້ອນຂອງລັບປະດິແຈ້ງອື່ນ ມີຄ່າເທົ່າກັນ 9.11 $\text{W/m}^2\text{-}^\circ\text{C}$ ທີ່ $\text{Pr} = 0.7$ ແລະ $1.47 \times 10^2 < \text{Gr} < 1.19 \times 10^3$

ການຄືກ່າວວິຈີ້ນີ້ຈຶ່ງມູ່ທີ່ຈະທຳການທົດລອງທຳແໜ່ງສົມແກກດ້ວຍການຕາກແໜ່ງທີ່ອາຍີພລັງງານແສງອາທິດຍີເພື່ອ ວິເຄຣະທີ່ຫາຄ່າສົມປະລິທີ່ກາປາຄວາມຮ້ອນຂອງຮຽມຈາດ ເພື່ອເປັນຂ້ອມໜູນໃນການພັດນາແບບຈຳລອງ ແລະ ອົກແນບ ຮະບນການທຳແໜ່ງສົມແກກທີ່ເທົ່ານະສົມສໍາຫຼັບຜູ້ນຕ່ອໄປ

2. ຖະໜົງກົງການປະມານດ່າ

ເນື່ອພິຈາລະນາການຄ່າຍໂອນຄວາມຮ້ອນທີ່ເກີດຂຶ້ນບຣິເວັນຜິວ ສົມຜົສຮະຫວ່າງ ຂຶ້ນສົມແກກ ແລະ ອາກາສ ແວດລ້ອມຈະເຂີຍນ ສົມການຄວາມສົມພັນອີນຮູບທ່າໄປ ດັ່ງນີ້

$$\dot{Q}_{ev} = h_c A (T_A - T_M) \quad (1)$$

ค่าสัมประสิทธิ์การพาความร้อน (h_c) สำหรับการทำแห้งโดยการตากแดดที่กลางแจ้งซึ่งมีการพาความร้อนแบบธรรมชาติ [5-7, 9-14] สามารถแสดงในรูปความสัมพันธ์ของพารามิเตอร์เร้มิตต์ได้ ดังนี้

$$Nu = \frac{h_c X}{K} = N(Ra)^n \quad (2)$$

หรือ

$$h_c = \frac{K}{X} \cdot N(Ra)^n \quad (3)$$

เนื่องจากการทำแห้งขั้นสัมแข็งโดยการตากแดดที่กลางแจ้งอยู่ในเป็นช่วงของอัตราการอบแห้งคงที่ จึงสามารถคำนวณอัตราการถ่ายโอนความร้อน (Q_{ev}) ที่ใช้ในการระเหยน้ำ [5-7, 9-14] ในขั้นสัมแข็งได้จากสมการ

$$\dot{Q}_{ev} = 0.016 \cdot h_c \cdot [P(T_M) - RH \cdot P(T_A)] \quad (4)$$

โดยการนำสมการ (3) แทนในสมการ (4) จะได้

$$\dot{Q}_{ev} = 0.016 \cdot \frac{K}{X} \cdot N(Ra)^n \cdot [P(T_M) - RH \cdot P(T_A)] \quad (5)$$

ทำการหารสมการ (4) ด้วยค่าความร้อนแผงของการกลายเป็นไอ (L) และคุณด้วยพื้นที่ (A) และเวลา (t) ที่ขั้นสัมแข็งได้รับพลังงานความร้อนจากแสงอาทิตย์ จะสามารถคำนวณมวลของไอน้ำที่ระเหย (M_{ev}) [5-7, 10-14] ได้ ดังนี้

$$M_{ev} = \frac{\dot{Q}_{ev}}{L} \cdot A \cdot t = 0.016 \cdot \frac{K}{XL} \cdot N(Ra)^n \cdot [P(T_M) - RH \cdot P(T_A)] \cdot A \cdot t \quad (6)$$

จากสมการ (6) ถ้ากำหนดให้

$$0.016 \cdot \frac{K}{XL} \cdot [P(T_M) - RH \cdot P(T_A)] \cdot A \cdot t = Z \quad (7)$$

แล้วจุดรูปสมการ (6) ใหม่จะได้ ดังนี้

$$\frac{M_{ev}}{Z} = N(Ra)^n \quad (8)$$

ทำการใส่ In ทั้งสองข้างของสมการ (8) จะได้

$$\ln \left[\frac{M_{ev}}{Z} \right] = n \ln(Ra) + \ln N \quad (9)$$

พิจารณาสมการ (9) เทียบกับรูปแบบของสมการเชิงเส้นตรง จะพบว่า เมื่อพล็อตค่า In(Ra) และ In(M_{ev}/Z) จะได้ความชันของกราฟเส้นตรงเท่ากับ n และค่าจุดตัดแกน Y (Y-Intercept) เท่ากับ lnN (รูปที่ 3 และ 4) โดยใช้สมบัติทางกายภาพของอากาศซึ่งประกอบด้วยค่าความร้อนจำเพาะ (C) สภาพการนำความร้อน (K) ความหนาแน่น (ρ) ความหนืดพลวัต (μ) ค่าความดันไออยู่ ($P(T)$) ความร้อนแผงของการกลายเป็นไอ (L) และสัมประสิทธิ์การขยายตัวเชิงปริมาตรของอากาศ (β) ตามสมการที่ 10-16 [5, 11-13]

$$c = 999.2 + 0.1434T_{av} + 1.101 \times 10^{-4} T_{av}^2 \quad (10)$$

$$- 6.7581 \times 10^{-8} T_{av}^3$$

$$K = 0.0244 + 0.6773 \times 0.6773 \times 10^{-4} T_{av} \quad (11)$$

$$\rho = 353.44 / T_{av} \quad (12)$$

$$\mu = 1.718 \times 10^{-5} + 4.620 \times 10^{-8} T_{av} \quad (13)$$

$$P(T) = \exp(25.317 - 5144 / T_{av}) \quad (14)$$

$$L = 3.1615 \times 10^6 (1 - 7.6166 \times 10^{-4} T_{av}) \quad (15)$$

$$\beta = 1/T_{av} \quad (16)$$

$$\text{เมื่อ } T_{av} = (T_A + T_M) / 2$$

3. การเตรียมตัวอย่าง และวิธีการทดลอง

3.1 การเตรียมตัวอย่างทดลอง

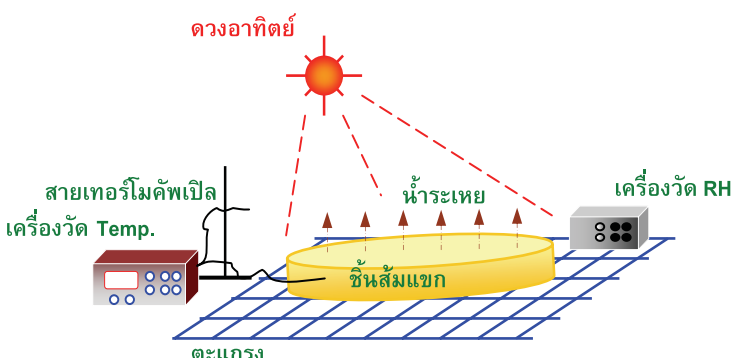
การวิจัยนี้ใช้ผลสัมแข็งสุกและสดที่สังเกตด้วยสายตาจากภายนอกเป็นลีเหลืองสม่ำเสมอจากตลาดเมืองใหม่ อ.เมือง จ.ยะลา ผลสัมแข็งที่ได้จะถูกหั่นเป็นชิ้นบางขนาดความหนาประมาณ 9.00 และ 17.00 มม. เลี้นผ่านคุณย์กลาง 70.00 มม. โดยใช้เวอร์เนียร์คาร์ลิปเปอร์ (Venier caliper) ความละเอียด 0.05 มม. วัดขนาดจากนั้นนำชิ้นสัมแข็งไปเก็บในตู้เย็นที่อุณหภูมิ 3-5°C เป็นเวลา 3 วัน เพื่อให้ความชื้นมีค่าสม่ำเสมอ และนำไปหาความชื้นเริ่มต้นตามมาตรฐาน AOAC 2005 [9] จากนั้นนำชิ้นสัมแข็งไปตากแห้งกลางแจ้งที่อุ่น

แสงอาทิตย์เป็นแหล่งพลังงานแล้ววิเคราะห์ค่าสัมประสิทธิ์การพากความร้อนแบบธรรมชาติต่อไป

3.2 วิธีการทดลอง

การวิจัยนี้ได้ทำการทดลองในช่วงเดือนลิงหาคม พ.ศ. 2551 โดยการนำชิ้นสัม样แยกขนาดเส้นผ่านศูนย์กลางเฉลี่ยเท่ากับ 73.10 มม. ความชื้นเริ่มต้น 85% w.b. ความหนา 8.89 และ 16.70 มม. มาวางบนตะแกรงแล้วนำไปตากแห้งด้วยพลงงานความร้อนจากแสงอาทิตย์ ณ ชั้นดาดฟ้า อาคาร 9 ศูนย์วิทยาศาสตร์และวิทยาศาสตร์ประยุกต์มหาวิทยาลัยราชภัฏยะลา (รูปที่ 1) วัดอุณหภูมิของชิ้นสัมแยกที่ระดับกึ่งกลางความหนาด้วยเครื่อง Digital Multimeter รุ่น UNAOHM 9400

ความละเอียด $\pm 0.1^{\circ}\text{C}$ ที่ต่อเข้ากับสายเทอร์โมคัพเปลี่ยนนิด เด (K-Type Thermocouple) วัดอุณหภูมิและความชื้นสัมพัทธิ์ของอากาศเหนือผิวชิ้นสัมแยกด้วยเครื่อง Flash Link Data Logger รุ่น Delta TRAK ความละเอียด $\pm 0.1^{\circ}\text{C}$ โดยวัดอุณหภูมิของชิ้นสัมแยก อุณหภูมิและความชื้นสัมพัทธิ์ของอากาศ 5 จุด แล้วใช้ค่าเฉลี่ย และชั้นน้ำหนักชิ้นสัมแยกทุกๆ 20 นาที ด้วยเครื่องชั่งแบบดิจิตอล Mettler Toledo รุ่น PB 1502 ความละเอียด 0.01 ก. บันทึกน้ำหนักเริ่มต้นและน้ำหนักที่เปลี่ยนแปลง 180 นาที จึงหยุดการทดลอง ทำการทดลอง 3 ชั้้ แล้วใช้ค่าเฉลี่ย จากนั้นนำข้อมูลที่ได้ไปวิเคราะห์หาค่าสัมประสิทธิ์การพากความร้อนแบบธรรมชาติ

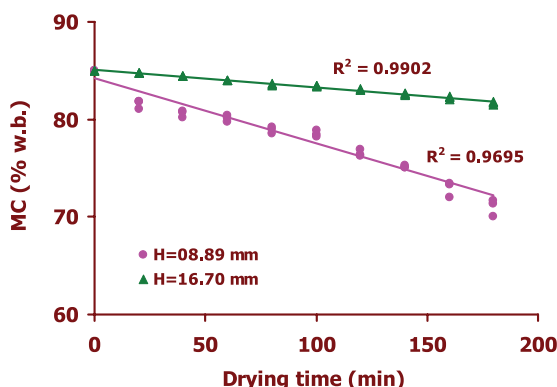


รูปที่ 1 การทดลองทำแห้งชิ้นสัมแยกแบบธรรมชาติ (ไม่มีความเร็วลมที่พัดผ่าน)

4. ผลและวิเคราะห์ผลการทดลอง

จากการทดลองตากแห้งชิ้นสัมแยกขนาดเส้นผ่านศูนย์กลางโดยเฉลี่ยเท่ากับ 73.10 มม. ที่มีความชื้นเริ่มต้น

เท่ากับ 85% w.b. ความหนา 8.89 มม. และ 16.70 มม. ด้วยพลงงานความร้อนจากแสงอาทิตย์ได้ผลการทดลองดังแสดงในตารางที่ 1 และ 2



รูปที่ 2 การเปลี่ยนแปลงความชื้นของชิ้นสัมแยกระหว่างการทำแห้งแบบธรรมชาติ

ตารางที่ 1 ผลการทดลองทำแห้งชิ้นสัมแขกแบบธรรมชาติ ($H=8.89$ มม., $D=73.10$ มม.)

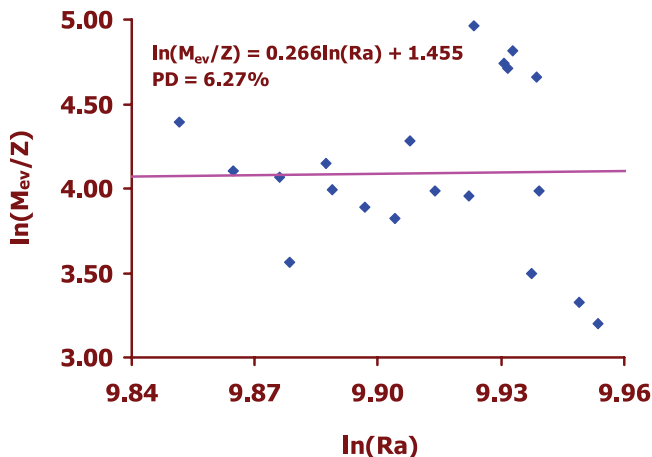
Time (min)	$T_{A, av}$ (°C)	$T_{M, av}$ (°C)	RH_{av} (%)	$Weight_{av}$ (g)	$M_{ev, av}$ (g)	MC_{av} (% w.b.)
0	48.7	27.5	22.0	38.15	-	85.00
20	47.7	28.0	23.5	33.91	4.24	81.78
40	51.3	30.0	21.8	29.40	4.51	80.77
60	52.1	31.5	20.3	28.32	1.08	80.22
80	54.2	31.0	19.0	27.08	1.24	78.98
100	45.0	30.3	22.3	26.01	1.07	78.45
120	43.4	28.8	25.0	24.42	1.59	76.37
140	49.1	31.7	21.2	23.02	1.40	75.04
160	55.0	32.5	19.8	21.17	1.85	72.02
180	45.9	31.5	22.5	19.79	1.38	69.99

ตารางที่ 2 ผลการทดลองทำแห้งชิ้นสัมแขกแบบธรรมชาติ ($H=16.70$ มม., $D=73.10$ มม.)

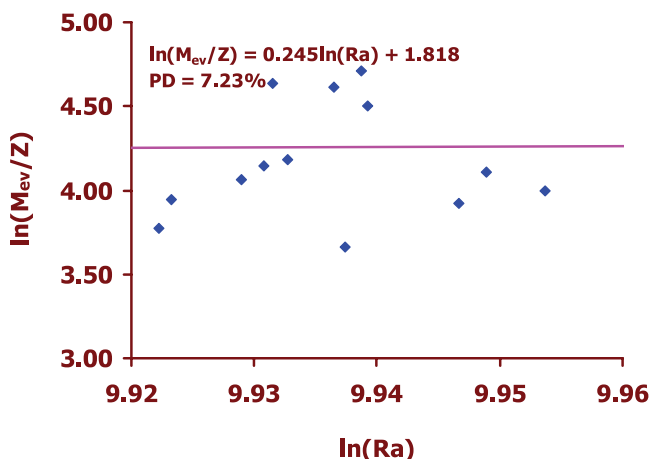
Time (min)	$T_{A, av}$ (°C)	$T_{M, av}$ (°C)	RH_{av} (%)	$Weight_{av}$ (g)	$M_{ev, av}$ (g)	MC_{av} (% w.b.)
0	48.7	27.5	22.0	58.44	-	85.00
20	47.7	28.0	23.5	57.40	1.04	84.75
40	51.3	30.0	21.8	56.28	1.12	84.40
60	52.1	31.5	20.3	54.84	1.44	83.97
80	54.2	31.0	19.0	53.39	1.45	83.67
100	45.0	30.3	22.3	52.26	1.13	83.36
120	43.4	28.8	25.0	51.25	1.01	82.98
140	49.1	31.7	21.2	50.19	1.06	82.46
160	55.0	32.5	19.8	49.07	1.12	82.05
180	45.9	31.5	22.5	47.80	1.27	81.48

เมื่อนำข้อมูลที่ได้มาเขียนกราฟเปรียบเทียบการเปลี่ยนแปลงความชื้นกับเวลาการทำแห้ง พบว่า การเปลี่ยนแปลงความชื้นในช่วงเวลาการทำแห้ง 180 นาที มีค่าน้อยมากเมื่อเทียบกับความชื้นเริ่มต้น คือ ลดลงประมาณ 15.01 และ 3.52% w.b. สำหรับชิ้นสัมแขกที่มีความหนา 8.89 และ 16.70 มม. ตามลำดับ เป็นการซึ่งให้เห็นว่าการทำแห้งชิ้นสัมแขกในช่วงที่มีความชื้นเริ่มต้นสูง (0-180 นาที) [5-8] จะอยู่ในช่วงของอัตราการอบแห้งคงที่ (Constant drying rate) ซึ่งสอดคล้องกับการทำแห้งพริกขี้หนู

เขียว ถัวเขียว ถัวขาว หอมหัวใหญ่ มันฝรั่ง และดอกกะหลา โดยการตากแห้งกลางแจ้งของ Anwar และ Tiwari [5] การทำแห้งข้าวสาลีและถัวเขียวของ Goyal และ Tiwari [6] การตากแห้งชิ้งของ Marina et al. [7] และการทำแห้งแก่นสับปะรดเชื้ออิมของ มาเรينا และ จอมgap [8] และ เมื่อเปรียบเทียบอัตราส่วนความชื้นหรืออัตราการทำแห้ง พบว่า ชิ้นสัมแขกที่มีความหนา 8.89 มม. มีอัตราการทำแห้งสูงกว่าชิ้นสัมแขกที่มีความหนา 16.70 มม. (รูปที่ 2)



รูปที่ 3 ความสัมพันธ์เชิงเส้นระหว่าง $\ln(M_{\text{ev}}/Z)$ และ $\ln(\text{Ra})$ ของชั้นล้มแข็งที่มีความหนา 16.70 มม. เมื่อตากแห้งแบบธรรมชาติ



รูปที่ 4 ความสัมพันธ์เชิงเส้นระหว่าง $\ln(M_{\text{ev}}/Z)$ และ $\ln(\text{Ra})$ ของชั้นล้มแข็งที่มีความหนา 8.89 มม. เมื่อตากแห้งแบบธรรมชาติ

จากรูปที่ 3 และ 4 พบว่า ค่า N และ n ของการทำแห้งชั้นล้มแข็งที่มีความหนา 16.70 มม. มีค่าเท่ากับ 1.455 และ 0.266 ตามลำดับ ที่ $\text{Pr} = 0.705$ และ $2.692 \times 10^4 < \text{Gr} < 2.980 \times 10^4$ ในขณะที่การทำแห้งชั้นล้มแข็งที่มีความหนา 8.89 มม. มีค่า N และ n เท่ากับ 1.818 และ 0.245 ตามลำดับ ที่ $\text{Pr} = 0.705$ และ $2.692 \times 10^4 < \text{Gr} < 2.980 \times 10^4$ เมื่อนำค่าคงที่ N และ n ที่ได้นี้ไปคำนวณค่า สัมประสิทธิ์การพากความร้อนแบบธรรมชาติโดยการแทน

ค่ากลับในสมการ (3) พบว่า ค่าสัมประสิทธิ์การพากความร้อนแบบธรรมชาติเฉลี่ยของการทำแห้งชั้นล้มแข็งมีค่า ใกล้เคียงกันเท่ากับ 29.99 และ 29.43 $\text{W}/\text{m}^2 \cdot ^\circ\text{C}$ สำหรับชั้นล้มแข็งที่มีความหนาเฉลี่ยเท่ากับ 8.89 และ 16.70 มม. ตามลำดับ ซึ่งใกล้เคียงกับค่าสัมประสิทธิ์การพากความร้อนแบบธรรมชาติของชิงเมื่อตากแห้งด้วยพลังงานแสงอาทิตย์ที่ทดลองโดย Marina et al. [7]

5. สรุป

จากการทดลองทำแห้งชิ้นสัม样แบบธรรมชาติด้วยการตากแห้งที่กลางแจ้งที่มีแสงอาทิตย์เป็นแหล่งพลังงานพอก็จะสรุปได้ว่าอัตราการอบแห้งอยู่ในช่วงการอบแห้งคงที่โดยชิ้นสัม样ที่มีความหนาเท่ากับ 8.89 มม. จะมีอัตราการทำแห้งสูงกว่าชิ้นสัม样ที่มีความหนา 16.70 มม. และค่าล้มประลิทึกรากความร้อนแบบธรรมชาติของชิ้นสัม祥มีค่าเท่ากับ 29.99 และ $29.43 \text{ W/m}^2\text{°C}$ สำหรับชิ้นสัม祥ที่มีความหนาเฉลี่ยเท่ากับ 8.89 และ 16.70 มม. ตามลำดับ ที่ค่า $\text{Pr} = 0.705$ และ $2.692 \times 10^4 < \text{Gr} < 2.980 \times 10^4$

6. สัญลักษณ์

- A คือ พื้นที่ผิวของชิ้นสัม祥ที่ได้รับพลังงานแสงอาทิตย์ (m^2)
- C คือ ความร้อนจำเพาะของอากาศ (J/kgK)
- N, n คือ ค่าคงที่
- D คือ เส้นผ่านศูนย์กลางของชิ้นสัม祥 (m)
- Gr คือ กระแสอ่อนน้อมเบอร์ (Grashof Number) มีค่าเท่ากับ $\beta g X^3 \rho^2 \Delta T / \mu^2$
- g คือ ความเร่งเนื่องจากแรงโน้มถ่วงของโลก (m/s^2)
- h_c คือ ล้มประลิทึกรากความร้อนแบบธรรมชาติของชิ้นสัม祥 ($\text{W/m}^2\text{°C}$)
- H คือ ความหนาของชิ้นสัม祥 (m)
- K คือ สภาพการนำความร้อนของอากาศ ($\text{J/m}^2\text{K}$)
- L คือ ความร้อนแห้งของการกลายเป็นไอน้ำ (J/kg)
- M_d คือ ความชื้นมาตรฐานแห้ง (%) d.b.)
- M_{ev} คือ มวลของน้ำในชิ้นสัม祥ที่ระเหย (kg)
- M_w คือ ความชื้นมาตรฐานเปียก (%) w.b.)
- Nu คือ นัสเซลท์นัมเบอร์ (Nusselt Number) มีค่าเท่ากับ $h_c X / K$
- PD คือ เปอร์เซ็นต์ความแตกต่าง หาได้จาก [(ค่าทดลอง - ค่าที่แน่นอน)/ค่าเฉลี่ย] $\times 100$
- Pr คือ พรันเดล์เทินนัมเบอร์ (Prandtl Number) มีค่าเท่ากับ $\mu C/K$
- P(T) คือ ความดันไออย่ออยู่ที่อุณหภูมิใดๆ (N/m^2)
- Q_{ev} คือ อัตราการถ่ายโอนความร้อนที่ใช้ในการระเหยน้ำในชิ้นสัม祥 ($\text{J/m}^2\text{s}$)

Ra คือ ราเลย์นัมเบอร์ (Rayleigh Number) มีค่าเท่ากับ

GrPr

RH คือ ความชื้นสัมพัทธิ์ของอากาศเหนือผิวชิ้นสัม祥 (decimal)

S คือ เลี้นรอบวงของชิ้นสัม祥 (m)

T_A คือ อุณหภูมิของอากาศเหนือผิวชิ้นสัม祥 (°C)

T_{av} คือ อุณหภูมิเฉลี่ยของชิ้นสัม祥และอากาศเหนือชิ้นสัม祥 (°C)

T_M คือ อุณหภูมิของชิ้นสัม祥 (°C)

ΔT คือ ผลต่างอุณหภูมิของชิ้นสัม祥และอากาศเหนือผิวชิ้นสัม祥 (°C)

t คือ เวลา (min)

X คือ ขนาดของชิ้นสัม祥เฉพาะ มีค่าเท่ากับ A/S (m)

ตัวอักษรกรีก

β คือ ล้มประลิทึกรากซ้ายตัวเชิงปริมาตรของอากาศ (1/K)

μ คือ ความหนืดพลวัตของอากาศ (kg/ms)

ρ คือ ความหนาแน่นของอากาศ (kg/m^3)

สัญลักษณ์กำกับล่าง

A คือ อากาศ

av คือ ค่าเฉลี่ย

c คือ แบบธรรมชาติ

d คือ มาตรฐานแห้ง

ev คือ การระเหย

M คือ วัสดุ

W คือ มาตรฐานเปียก

7. กิตติกรรมประกาศ

การวิจัยครั้งนี้ผู้วิจัยขอขอบคุณ สาขาวิชาพิสิกส์ คณะวิทยาศาสตร์เทคโนโลยีและการเกษตร และศูนย์วิทยาศาสตร์และวิทยาศาสตร์ประยุกต์ มหาวิทยาลัยราชภัฏยะลา ที่อำนวยเครื่องมือและอุปกรณ์ในการทดลองต่างๆ จนทำให้การดำเนินงานวิจัยนี้สำเร็จลุล่วงด้วยดี

8. เอกสารอ้างอิง

1. สถาบันการแพทย์แผนไทย, 2550, “ส้มแขก.” http://ittm.dtam.moph.go.th/product_champion/herb9.htm, [22 กุมภาพันธ์].
2. สมชาย ไสกนรอนฤทธิ์, 2540, การอบแห้งเมล็ดพืชและอาหารบางประเภท, สถาบันเทคโนโลยีพระจอมเกล้าธนบุรี, กรุงเทพฯ, p. 338
3. Brooker, D.B., Bakker-Arkema, F.W., and Hall, C.W., 1974, *Drying Cereal Grains* (3rd edition). Westport, Connecticut : The AVI publishing company, Inc., USA, p. 265
4. Bala, B.K., 1997, *Drying and Storage of Cereal Grains*. Oxford & IBH Publishing, Oxford, p.0312
5. Anwar, S.I. and Tiwari, G.N., 2001, “Evaluation of Convective Heat Transfer Coefficient in Crop Drying under Open Sun Drying Conditions.” *Energy Conversion and Management*, Vol. 42, No. 5, pp. 627-637.
6. Goya, R.K. and Tiwari, G.N., 1998, “Heat and Mass Transfer Relations for Crop Drying.” *Drying Technology*, Vol. 16, No. 18, pp. 1741-1754.
7. Mani, M., Kaew-on, J., and Boonma, P., 2008, “Determination of Convective Heat Transfer Coefficient of Ginger Drying under Natural Convection.” http://www.scisoc.or.th/stt/30/sec_j/paper/stt30_J0016.pdf. [22 August].
8. มาเรี่ยน มะหนี่ และ จอมภาพ แวงคั้กตี้, 2548, “การหาค่าสัมประสิทธิ์การพาความร้อนของแกนสับประตเชื่อมอบแห้งภายใต้การตากแห้งโดยแสงอาทิตย์,” การประชุมเชิงวิชาการเครือข่ายพลังงานแห่งประเทศไทยครั้งที่ 1, โรงเรียนเคมบะลชาเดอร์ ชัตตี้ จอมเทียน จังหวัดชลบุรี วันที่ 11-13 พฤษภาคม, RE08, pp. 1-4.
9. AOAC., 2005, *Official Methods of Analysis* (18th edition), Association of Official Analytical Chemists : Washington, D.C.
10. Tiwari, G.N. and Suneja, S., 1997, *Solar Thermal Engineering Systems*, Narosa Publishing House, New Delhi, India, 412 p.
11. Toyama, S., Nakamura, M., Salah, H.M., Futamura, S., and Murase, K., 1987, “Laboratory Test of Solar-distillator with a Heat Penetrating Plate Having a Bend,” *Desalination*, Vol. 67, pp. 67-73.
12. Tiwari, G.N. and Tripathi, R., 2003, “Study of Heat and Mass Transfer in Door Conditions for Distillation,” *Desalination*, Vol. 154, No. 2, pp. 161-169.
13. Tiwari, G.N., Minocha, A., Sharma, P.B., and Emran K.M., 1997, “Simulation of Convective Mass Transfer in a Solar Distillation Process,” *Energy Conversion and Management*, Vol. 38, No. 8, pp. 761-770.
14. Tiwari, G.N., Kumar, S. and Prakash, O., 2003, “Evaluation of Convective Mass Transfer Coefficient during Drying of Jaggery,” *Journal of Food Engineering*, Vol. 63, No. 2, pp. 219-227.